

جداسازی کالکوسیت از پیریت به روش شناورسازی با کنترل پتانسیل اکسیداسیون-احیا پالپ

بیژن طاهری^۱، محمود عبدالهی^{۲*}، سید ضیا الدین شفائی تنکابنی^۳، سهیلا جوادیان فرزانه^۴

۱. دانشجوی دکتری فراوری مواد معدنی، دانشگاه تربیت مدرس (tymaz530@gmail.com)
۲. استاد فراوری مواد معدنی، دانشگاه تربیت مدرس (minmabd@modares.ac.ir)
۳. استاد فراوری مواد معدنی، دانشگاه تهران (zshafaie@ut.ac.ir)
۴. دانشیار شیمی فیزیک، دانشگاه تربیت مدرس (javadian_s@modares.ac.ir)

مشخصات مقاله	چکیده
تاریخچه مقاله:	در این تحقیق اثر کنترل پتانسیل اکسیداسیون-احیا پالپ (E_h) بر روی جدایش کالکوسیت از پیریت به روش شناورسازی در حضور اتیل گرنتات پتاسیم در pH های مختلف مورد بررسی قرار گرفته است. برای کنترل پتانسیل از مواد شیمیایی اکسنده (پراکسیدهیدروژن) و کاهنده (دیتیونات سدیم) استفاده شده است. نتایج نشان داده است که جدایش این دو کانی شدیداً وابسته به پتانسیل اکسیداسیون-احیا و pH پالپ می باشد. بیشترین جدایش در pH=۱۱ و در محدوده پتانسیل بین (SHE) -۱۰۰ mV تا صفر حاصل شده است. مطالعات ولتاومتری چرخه ای برای تحلیل رفتار شناورسازی این دو کانی مورد استفاده قرار گرفته است. بر اساس نتایج حاصل از آزمایش های شناورسازی و ولتاومتری چرخه ای، علت جدایش موثر این دو کانی در شرایط فوق الذکر، تشکیل و غالب بودن گونه اتیل گرنتات مس بعنوان عامل شناورسازی کالکوسیت و عدم تشکیل و یا کافی نبودن دی گزنتوزن بعنوان عامل شناورسازی پیریت، استنباط شده است.
دربافت: ۲۲ آذر ۹۱	
دربافت پس از اصلاح: ۲۵ اردیبهشت ۹۲	
پذیرش نهایی: ۱۳ مرداد ۹۲	
کلمات کلیدی:	شناورسازی با کنترل پتانسیل پتانسیل اکسیداسیون-احیا پالپ کالکوسیت پیریت ولتاومتری چرخه ای

حقوق ناشر محفوظ است.

* عهده دار مکاتبات

۱- مقدمه

هیدرازین (N_2H_4) [۳۱] ، دی‌تیونات سدیم ($Na_2S_2O_4$) [۲۰]، سولفید سدیم (Na_2S) [۳۴، ۳۳، ۳۱-۲۹]، سولفیت سدیم (Na_2SO_3) [۳۵]، هیدروسولفید سدیم [۳۶]، $NaHS$ [۳۷، ۳۶]، بی‌سولفیت سدیم ($NaHSO_3$) [۳۸]، سولفات آهن ($Fe_2(SO_4)_3$) [۳۲]، پرسولفات آمونیوم ($(NH_4)_2S_2O_8$) [۳۴] و... هستند که برای تنظیم پتانسیل پالپ در یک محدوده خاص بکار می‌روند و در مقایسه با روش قبل (پتانسیل ایستایی^۱) محیط الکتروشیمیایی یکپارچه‌تری در اطراف ذرات سولفیدی در پالپ ایجاد می‌کنند و لذا در عملیات صنعتی کاربرد بیشتری دارد ولی انعطاف کمتری نسبت به روش اعمال پتانسیل خارجی دارد. البته لازم به ذکر است که روش‌های دیگری از جمله استفاده از گازهای مختلف از جمله اکسیژن (هوای نیتروزن [۳۲، ۳۸، ۴۰-۴۱] و بعضًا گاز دی‌اکسید گوگرد [۴۱] و همچنین با استفاده از تغییرات pH [۳۱، ۳۲، ۴۲] در واکنش‌هایی که یون‌های H^+ یا OH^- نقش بسزایی دارند، نیز می‌توان پتانسیل پالپ را کنترل کرد. هدف غایی این تحقیق جداسازی کالکوسیت از پیریت جهت تهیه یک نمونه کالکوسیت پرعيار می‌باشد که تحت کنترل شیمیایی پتانسیل پالپ با استفاده از پراکسید هیدروژن (H_2O_2) بعنوان عامل اکسنده و دی‌تیونات سدیم ($Na_2S_2O_4$) بعنوان عامل کاهنده انجام شده است و برای تحلیل رفتار مشاهده شده تحت شرایط مختلف از روش الکتروشیمیایی و لاتامتری چرخه‌ای^۲ که یکی از روش‌های پرکاربرد جهت پیش‌بینی واکنش‌های اکسایش و کاهش بر روی سطح کانی‌ها در شرایط مختلف پتانسیل می‌باشد [۱۸، ۴۳-۴۷]، استفاده گردیده است.

۲- روش‌ها و آزمایش‌ها

۲-۱. تهیه و آماده‌سازی نمونه

نمونه مورد استفاده برای جداسازی کالکوسیت از پیریت، بصورت دست‌چین از یکی از جبهه‌کارهای معدن مس سرچشم‌هه تهیه گردید و پس از چندین مرحله جداسازی به روش سنگ‌جوری سعی گردید تا حدمکان نمونه مورد آزمایش عاری از ناخالصی‌ها باشد. نمونه مذکور ابتدا توسط

اهمیت و نقش پتانسیل پالپ در شناورسازی کانی‌های سولفیدی بدليل خواص نیمه‌رسانایی این کانی‌ها بر هیچ محققی پوشیده نیست. اختلاف در شناورسازی کانی‌های سولفیدی نسبت به پتانسیل پالپ، انتظار می‌رود مجالی برای جدا کردن کانی‌های مختلف را ایجاد کند. عنوان مثال چاندر^۳ و فورستینو^۴ نشان دادند که کالکوسیت را می‌توان با کنترل پتانسیل پالپ از مولیبدنیت جدا نمود. در مطالعات دیگر کنترل پتانسیل منجر به جدایش کالکوپیریت از پیریت [۵]، کالکوپیریت از ارسنوفیریت [۴-۲] گردیده است. مطالعات دیگر [۶-۸] در این زمینه نشان داده است که رفتار الکتروشیمیایی کانی‌های ترکیبی غالباً متفاوت از رفتار تک تک آن‌هاست که علت این پدیده اغلب بدليل اثر گالوانیکی و یا برهم‌کنش‌های متقابل کانی‌های مختلف بر هم‌دیگر گزارش شده است. بررسی اثر گالوانیک کانی‌های سولفیدی بر رفتار شناورسازی هم‌دیگر توسط محققین زیاد [۲، ۴، ۶-۹] مovid پدیده فوق است. کالکوسیت عنوان یک کانی سولفیدی مس، غالباً با پیریت هماه است. در فرایند شناورسازی با کلکتورهای سولفیدریل بویژه گزنتات‌ها، هر دو این کانی‌ها شناور می‌شوند [۵، ۱۲] و جدایش آن‌ها از هم‌دیگر به صورت می‌گیرد. در رابطه با شناورسازی کالکوسیت [۱۳، ۷، ۲۱-۲۵] و پیریت [۷، ۱۰، ۲۲-۲۵] در حضور گزنتات‌ها و اثر پتانسیل بر رفتار شناورسازی آن‌ها مطالعات متعددی وجود دارد. اما در رابطه با رفتار ترکیبی این دو کانی بویژه نقش پتانسیل پالپ و کنترل آن برای جدایش این دو کانی از هم‌دیگر تاکنون مطالعه‌ای صورت نگرفته است. بدليل نیاز به کالکوسیت با خلوص بالا در یک کار تحقیقاتی، رفتار شناورسازی این دو کانی در H^+ مختلف و در حضور اتیل گزنتات پاتاسیم (KEX) در دو حالت بدون کنترل پتانسیل و با کنترل پتانسیل پالپ در تحقیق حاضر مورد بررسی قرار گرفته است. بطور کلی، دو روش عمدۀ برای کنترل پتانسیل پالپ در سیستم فلوواتاسیون کانی‌های سولفیدی، بکار می‌رود: یکی استفاده از یک منبع تغذیه خارجی [۱۹، ۲۶-۲۸] است که در این روش با اعمال پتانسیل خارجی توسط یک پتانسیوواستات^۵، می‌توان پتانسیل پالپ را در یک مقدار دلخواه، تنظیم و کنترل نمود. دیگری، استفاده از مواد شیمیایی اکسنده و کاهنده از جمله پراکسید هیدروژن [۲۹-۳۲]، هیپوکلریت سدیم (H_2O_2) [۳۳]،

¹ Chander

² Fuerstenau

³Potentiostat

⁴Potentiostatic
⁵Cyclic Voltammetry

آنالیز شیمیایی (%)									
Cu	CuO	Fe	CaO	Al ₂ O ₃	K ₂ O	P ₂ O ₅	SiO ₂	S	غیره
۷/۶۳	۰/۲۵	۳/۰۸	۱۱/۱۰	۲۲/۰۹	۳/۵۵	۲/۱۲	۴۰/۲۱	۵/۳۴	۴/۶۳

جدول (۲) آنالیزهای مینرالوژیکی نمونه برای آزمایش‌های شناورسازی

درصد وزنی	ترکیب شیمیایی	نوع کانی	درصد وزنی	ترکیب شیمیایی	نوع کانی
۰/۰۲۴	FeOOH	لیمونیت	۹/۴۷	Cu ₂ S	کالکوسیت
۰/۰۲۴	ZnS	اسفالاریت	۶/۳۹	FeS ₂	پیریت
۰/۰۷۸	Fe ₂ O ₃	هماتیت	۰/۰۴۸	CuFeS ₂	کالکوپیریت
۰/۰۲۳	Fe ₃ O ₄	مگنتیت	۰/۰۵۴	CuS	کوولیت
۸۳/۸۸۳	کانی‌های باطله آلومینوسیلیکات‌ها		۰/۰۰۶	Cu ₅ FeS ₄	بورنیت

جدول (۳) آنالیزهای شیمیایی و مینرالوژیکی نمونه‌های خالص برای ساخت الکترودهای کانی

نمونه	Cu	Fe	Al ₂ O ₃	SiO ₂	S	سایر ناخالصی‌ها	خلوص کانی (%)
پیریت	۰/۲۸	۴۵/۸۲	۰/۶۸	۰/۵۶	۵۲/۳۹	۰/۲۷	۹۸/۱۸
کالکوسیت	۷۸/۸۸	۰	۰/۴۱	۰/۸۲	۱۹/۷۶	۰/۱۳	۹۸/۶

موردن استفاده قرار گرفت. همه مواد شیمیایی مورد استفاده دارای خلوص آزمایشگاهی^۱ می‌باشند.

۳-۲. روش کار و تجهیزات مورد استفاده

آزمایش‌های پر عیارسازی کالکوسیت و تعیین شرایط بهینه جداسازی کالکوسیت از پیریت در سلول‌های آزمایشگاهی دنور ۴ لیتری و با استفاده از کلکتور اتیل گزنتات در چهار سطح pH، در دو حالت با کنترل پتانسیل شیمیایی (با استفاده از دی‌تیونات‌سدیم و آب اکسیژنه) و بدون کنترل پتانسیل (در پتانسیل مدار باز) انجام شد. در آزمایش‌های با کنترل پتانسیل از گاز نیتروژن و در آزمایش‌های بدون کنترل پتانسیل از هوا و گاز نیتروژن بطور جداگانه استفاده شد. شرایط انجام آزمایش‌های پر عیارسازی کالکوسیت بر اساس تجربیات و تدبیر شخصی و نیز یافته‌های محققین پیشین [۷، ۱۳-۱۵، ۱۷-۲۱] تعیین گردید. بر این اساس محدوده pH بین ۸ تا ۱۱ و در آزمایش‌های با کنترل پتانسیل، محدوده پتانسیل الکتروشیمیایی بین (۰-۲۰۰ mV(SHE) +۲۰۰ تا -۳۰۰) مورد بررسی قرار گرفت. سایر شرایط از جمله میزان کلکتور مورد استفاده حدود ۲۰ gr/ton اتیل گزنتات پتانسیم (KEX) و مقدار کفساز حدود ۳۰ gr/ton متیل ایزو بوتیل کربینول

سنگ‌شکن فکی آزمایشگاهی و سپس توسط آسیای دیسکی و با کنترل زمان خردایش (بازه‌های کوتاه زمانی برای جلوگیری از تولید نرمه)، به ابعاد زیر ۱۰۰ میکرون رسانده شد بطوری که ۷۵ آن میکرون بود. نتایج آنالیزهای شیمیایی و مطالعات مینرالوژیکی نمونه مذکور به ترتیب در جدول ۱ و ۲ آورده شده است. برای تهیه الکترود کانی جهت مطالعات ولتاوری چرخه‌ای، از بلورهای خالص کالکوسیت و پیریت که توسط واحد زمین شناسی مجتمع مس سرچشمه تهیه شده بود، استفاده گردید. آنالیز شیمیایی این نمونه‌ها، در جدول ۳ آورده شده است.

۲-۲. مواد شیمیایی مورد استفاده

مواد شیمیایی شامل اتیل گزنتات پتانسیم (KEX) بعنوان کلکتور، متیل ایزو بوتیل کربینول (MIBC) بعنوان کفساز، اسید فسفریک (H₃PO₄) و سود سوزآور (NaOH) برای تهیه محلول‌های بافر pH، آب اکسیژنه (H₂O₂) بعنوان عامل اکسیدنده و دی‌تیونات‌سدیم (Na₂S₂O₄) بعنوان عامل کاهنده برای تنظیم و کنترل پتانسیل الکتروشیمیایی در این مطالعه

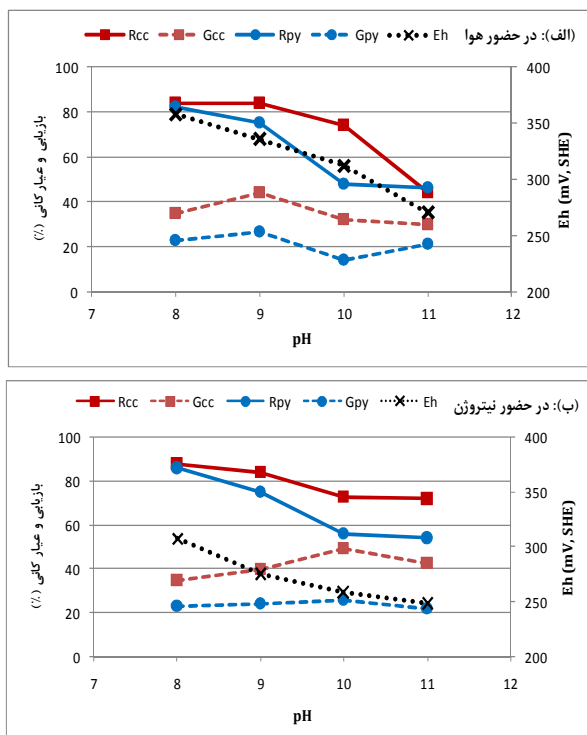
^۱ Analytical Grade

تغییرات مقادیر pH تا حدود $\pm 0/2$ واحد و تغییرات Eh تا حدود ± 15 mV، مجاز در نظر گرفته شد. برای تنظیم pH از محلول‌های بافر استاندارد ۷ و ۱۱ و برای تنظیم Eh از محلول استاندارد فریک‌فرو^۶ و برای شستشوی الکترود Eh متر و الکترود پلاتین از محلول ۴ مولار اسیدنیتریک استفاده می‌شد.

تمام آنالیزهای شیمیایی جهت تعیین عیار عنصر موجود در نمونه‌ها توسط روش‌های جذب اتمی^۷ (AAS) با دستگاه واریان^۸ (مدل A220) و فلورسانس اشعه ایکس^۹ (XRF) با دستگاه فیلیپس^{۱۰} (مدل PW-1480) و آنالیزهای مینرالوژیکی جهت تعیین عیار کانی‌ها در نمونه‌ها با استفاده از روش شمار نقطه‌ای با دستگاه میکروسکوپ نوری و نرمافزار مربوطه انجام شده است.

۳- ارائه یافته‌ها و نتایج

نتایج آزمایش‌های اولیه شناورسازی (تغییرات عیار و بازیابی کالکوسیت و پیریت نسبت به pH) در پتانسیل مدار باز (بدون تغییر و تنظیم پتانسیل) در حضور هوا و گاز نیتروژن در شکل ۱ نشان داده شده است.



شکل (۱) تغییرات عیار و بازیابی کالکوسیت و پیریت نسبت به pH در پتانسیل‌های مدار باز (R مخفف بازیابی، Gcc مخفف کالکوسیت و Gpy مخفف پیریت است)

(MIBC) و زمان آماده‌سازی (شامل اختلاط کامل پالپ، تنظیم پتانسیل، تنظیم pH، افزودن کلکتور و کفساز) حدود ۱۵ دقیقه و زمان کف‌گیری برابر ۱۲ دقیقه بر اساس مطالعات اولیه در نظر گرفته شد.

روش ولتاویری چرخه‌ای با استفاده از یک سیستم پتانسیوستات متصل به کامپیوتر به همراه نرمافزار مربوطه و با استفاده از یک سلول سه الکترودی که در آن از الکترود کانی (کالکوسیت و پیریت) بعنوان الکترود کار^۱، الکترود پلاتین بعنوان الکترود مخالف^۲ و الکترود Ag/Ag-Cl^۳ بعنوان الکترود مرجع^۴ مطابق روش‌های گزارش شده در مقالات [۴۶-۴۸]، استفاده گردید. برای ساخت الکترود کانی، طبق روش ارائه شده توسط گوکتپه^۵ [۵۱] از بلورهای تقریباً خالص کالکوسیت و پیریت، نمونه‌های مکعبی شکل با سطح مقطع ۱cm×1cm تهیه گردید و این نمونه‌ها توسط چسب نقره به یک تکه سیم مسی متصل شد و توسط رزین اپوکسی^۶ بصورت یک قالب لوله‌ای شکل در آمد. قبل و بعد از هر بار استفاده از آن برای حذف آلودگی‌های سطح با استفاده از کاغذ سنباده نرم، سطح الکترود صیقل و سپس با آب مقطر شستشو داده می‌شد.

برای تنظیم pH و جلوگیری از تغییرات آن در مقابل تغییرات Eh از محلول‌های بافر پایه فسفات استفاده گردید. نحوه تهیه این محلول‌های بافر به این صورت بود که ابتدا مقدار ۱/۰ مول اسید فسفریک را در مقداری آب حل کرده و سپس محلول غلیظ NaOH به آن اضافه می‌شد تا pH موردنظر حاصل گردد و سپس محلول به حجم (یک لیتر) رسانده می‌شد و بر این اساس در تمام آزمایش‌ها از محلول ۱/۰ مولار اسید فسفریک به همراه سود سوزآور بعنوان محلول بافر استفاده گردید تا اثر آن بر تمام آزمایش‌ها یکسان بوده و از خطای احتمالی ناشی از آن بتوان صرف نظر کرد.

مقادیر pH و Eh در طول آزمایش‌ها بطور دائم اندازه‌گیری و کنترل می‌گردید. برای اندازه‌گیری pH از دستگاه pH متر (مدل Metrohm-826) و برای اندازه‌گیری Eh از دستگاه Eh متر (مدل WTW-325) استفاده می‌شد. برای بیان پتانسیل‌ها بر حسب SHE، مقادیر اندازه‌گیری شده با الکترود Ag-AgCl با عدد ۲۲۸ mV (مربوط به الکترود مورد استفاده) جمع شده است. در آزمایش‌های با کنترل پتانسیل،

⁶ Atomic Absorption Spectroscopy

⁷ Varian

⁸ X-Ray fluorescence

⁹ Philips

¹ Working Electrode

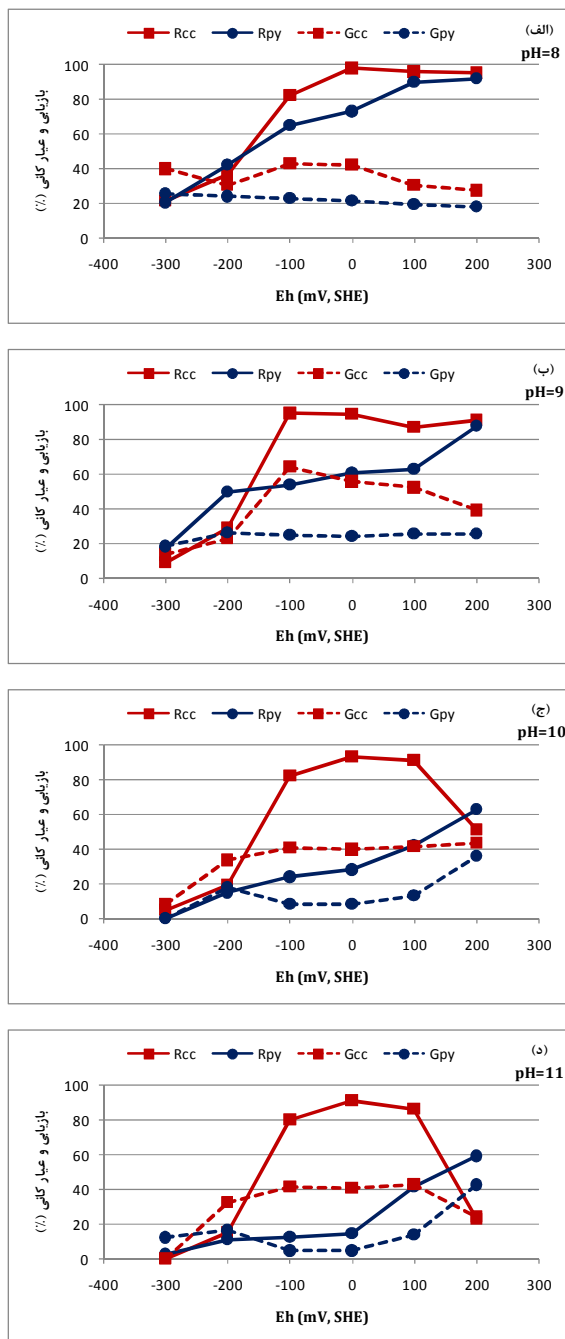
² Counter Electrode

³ Reference Electord

⁴ Goktepe

⁵ Epoxy Resin

جدایش کالکوسیت از پیریت به روش شناورسازی با کنترل پتانسیل اکسید/سیون-احیا پالپ



شکل (۲) تغییرات عیار و بازیابی کالکوسیت و پیریت نسبت به پتانسیل پالپ در pHهای مختلف

نیز افزایش یافته است، به گونه‌ای که عیار پیریت به مقادیر زیر ۱۰٪ رسیده است. همان‌طوری که مشاهده می‌شود، در محدوده پتانسیل بالای صفر میلی ولت، بازیابی کالکوسیت روند کاهشی داشته ولی بازیابی و عیار پیریت افزایش یافته است.

همان‌طوری که مشاهده می‌شود، حد پایین پتانسیل برای شناورسازی کالکوسیت، تقریباً مستقل از pH ولی حد بالای پتانسیل برای شناورسازی آن، وابسته به pH می‌باشد،

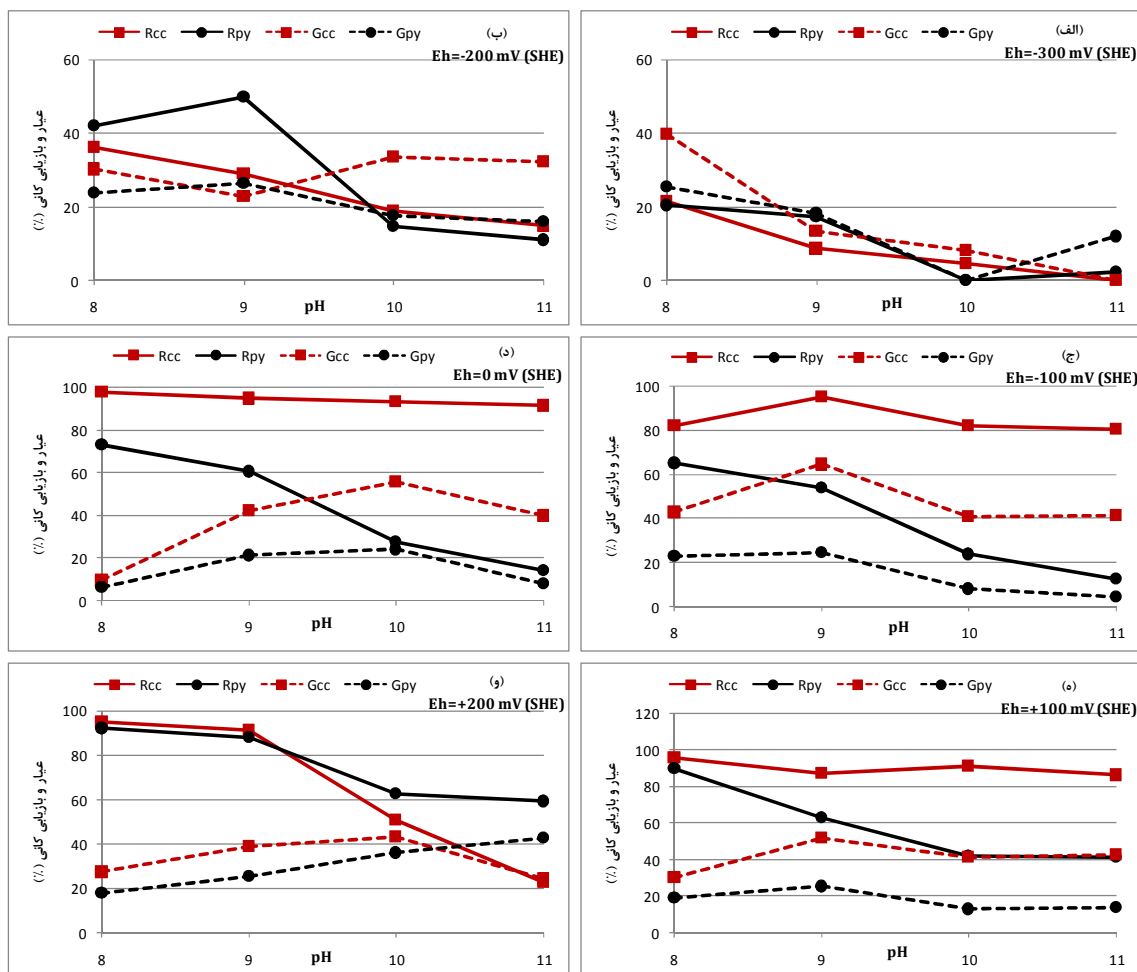
میانگین مقادیر پتانسیل پالپ در هر pH نیز در شکل فوق نشان داده شده است. لازم به ذکر است پتانسیل پالپ در حضور هوا نسبت به زمان بسیار متغیر بود و لذا مقادیر پتانسیل نشان داده شده، میانگین تغییرات پتانسیل پالپ می‌باشد که این مقادیر در حضور هوا با $\pm 50\text{ mV}$ و در حضور گاز نیتروژن با $10\text{ mV} \pm 10\text{ mV}$ خطا همراه بوده است. همان‌طوری که مشاهده می‌شود، جدایش چندان موثری در هیچ یک از pHهای مورد بررسی حاصل نشده است و بازیابی و عیار هر دو کانی با اختلاف ناچیز از همدیگر نسبت به pHهای مختلف، تغییر کرده است. از آنجایی که دستیابی به کالکوسیت با عیار بالا و تقریباً عاری از پیریت هدف اصلی این تحقیق بوده است، لذا آزمایش‌های شناورسازی با کنترل پتانسیل الکتروشیمیایی پالپ با جزئیات بیشتری مورد بررسی قرار گرفته است که نتایج حاصل از این آزمایش‌ها (تغییرات عیار و بازیابی کالکوسیت و پیریت) در pHهای مختلف نسبت به تغییرات پتانسیل اکسیداسیون-احیا پالپ در شکل ۲ نشان داده شده است.

همان‌طور که مشاهده می‌شود در pH=8، بازیابی هر دو کانی پیریت و کالکوسیت بطور همزمان و با اختلاف کم از همدیگر، افزایش می‌یابد. اختلاف بین عیار این دو کانی نیز در این شرایط چندان چشمگیر نمی‌باشد. در pH=9، بازیابی هر دو کانی با افزایش پتانسیل، افزایش یافته است. در محدوده پتانسیل بین -100 تا $+100$ میلی ولت، اختلاف قابل ملاحظه‌ای بین عیار و بازیابی کالکوسیت و پیریت مشاهده می‌شود. اختلاف بیشتری نسبت به شرایط قبل بین بازیابی و عیار این دو کانی در pH=10 حاصل شده است. همان‌طوری که مشاهده می‌شود، در محدوده پتانسیل بین -100 تا $+100$ میلی ولت عیار کانی پیریت در کسانتره حاوی حدود ۴۰٪ کالکوسیت، به مقدار حدود ۱۰٪ رسیده است در صورتی که در شرایط قبل، عیار پیریت بالای ۲۰٪ بوده است. بازیابی پیریت در این شرایط بندرت از ۴۰٪ فراتر رفته است. بازیابی کالکوسیت نیز به مقادیر بالاتر از ۹۰٪ نیز رسیده است. البته با افزایش پتانسیل در مقادیر بالاتر از $+100\text{ mV}$ منجر به کاهش بازیابی کالکوسیت و افزایش سریع بازیابی پیریت شده است. در pH=11 نیز روند تغییرات عیار و بازیابی کالکوسیت و پیریت کمابیش مشابه روند مشاهده شده در pH=10 است، با این تفاوت که اختلاف بازیابی‌ها در بازه پتانسیل -100 تا صفر میلی ولت بیشتر از حالت قبل است و نیز اختلاف عیار دو کانی

در مورد پیریت در همه pH‌ها، با افزایش پتانسیل پالپ، بازیابی پیریت، روند صعودی دارد. ولی نرخ تغییرات بازیابی نسبت به پتانسیل پالپ، متاثر از pH محیط است. بطوری که در pH=۸، با افزایش پتانسیل، بازیابی پیریت با نرخ نسبتاً ثابتی، افزایش یافته است. اما با افزایش pH، نرخ تغییرات بازیابی آن، به مراتب کاهش یافته است، بگونه‌ای که کمترین تغییرات بازیابی پیریت در pH=۱۱ و در محدوده پتانسیل ۲۰۰ mV- تا صفر، مشاهده می‌شود.

برای درک بهتر نتایج آزمایش‌های فوق، تغییرات عیار و بازیابی کالکوسیت و پیریت نسبت به pH پالپ در پتانسیل‌های متوسط پالپ در شکل ۳ نشان داده شده است.

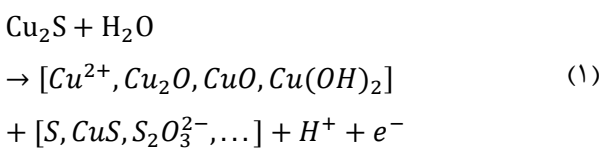
يعني در همه pH‌های مطالعه شده، در پتانسیل‌های پایین (کمتر از -۲۰۰ mV)، شناورسازی کالکوسیت بسیار ناچیز و به محض افزایش پتانسیل در مقادیر بالاتر از -۲۰۰ mV، شناورسازی آن، بشدت افزایش می‌یابد در واقع حد پایین پتانسیل برای شروع شناورسازی کالکوسیت در همه pH‌ها، یکسان است. اما حد بالای پتانسیل برای شناورسازی کالکوسیت، در pH‌های قلیایی ضعیف (pH=۸ و pH=۹) با pH‌های قلیایی قوی (pH=۱۰ و pH=۱۱) متفاوت است. بطوری که در pH‌های بالا (pH=۱۰ و pH=۱۱)، حد بالای پتانسیل، حدود +۱۰۰ mV است و پس از آن بازیابی کالکوسیت، کاهش یافته است، در حالی که در pH‌های پایین (pH=۹ و pH=۸)، تا پتانسیل +۲۰۰ mV، همچنان شناورسازی خوب کالکوسیت، حاصل شده است.



شکل (۳) تغییرات بازیابی و عیار کالکوسیت و پیریت نسبت به pH در پتانسیل‌های متوسط

دیگرنتوژن اکسید شده و بر روی پیریت دیگرنتوژن تشکیل می‌گردد. بنابراین تشکیل و پایداری گونه‌های دیگرنتوژن و گزنتات‌های مس می‌تواند رفتار شناورسازی این کانی‌ها را توجیه نماید. مطالعات ولتاوی چرخه‌ای عنوان یک روش توانمند برای بررسی واکنش‌های الکتروشیمیایی سطح جامدات، بر روی الکترودهای کانی در H_2O می‌ مختلف، در غیاب و حضور کلکتور به ترتیب در شکل ۴ و ۵ آورده شده است. جهت روش از پتانسیل‌های منفی (از -400 mV) به سمت پتانسیل‌های مثبت (تا $+400 \text{ mV}$) و بر عکس می‌باشد.

همان‌طوری که از شکل ۴ مشاهده می‌شود در غیاب کلکتور و تقریباً در همه H_2O مورد مطالعه، کالکوسیت غالباً دارای یک پیک اکسیداسیون (پیک A) در پتانسیل‌های بالای $+300 \text{ mV}$ می‌باشد. محققین [۱، ۵۴] واکنش کلی اکسیداسیون کالکوسیت را طبق رابطه زیر گزارش کرده‌اند:



محصولات اکسیداسیون جامد حاوی مس عنوان گونه‌های هیدروفیل شناخته شده‌اند که وقتی مقدار آن‌ها زیاد باشند، انتقال بار در سطح الکترود را کاهش می‌دهند، ولی اثر کمی در شناورسازی با کلکتور دارند. عکس واکنش اکسیداسیون کالکوسیت (پیک C) در پتانسیل حدود $+100 \text{ mV}$ اتفاق افتاده است که مقدار آن بستگی به میزان محصولات اکسیداسیون موجود اولیه دارد؛ یعنی هرچه شدت پیک آندیک بیشتر باشد، شدت پیک کاتدیک نیز بیشتر است که این واقعیت در شکل ۴ بخوبی قابل مشاهده است.

در مورد پیریت، در غیاب کلکتور پیک مجزا و قابل تمییزی در شکل ۴ دیده نمی‌شود که این امر می‌تواند ناشی از واکنش‌های کد اکسیداسیون پیریت و یا همپوشانی واکنش‌های متعدد اکسیداسیون پیریت با یکدیگر باشد که بصورت یک روند صعودی کلی در گراف‌های ولتاوی چرخه‌ای ظاهر شده‌اند.

واکنش‌های اکسیداسیون پیریت در غیاب کلکتور بسته به شرایط الکتروشیمیایی پالپ در H_2O مورد بررسی، بصورت زیر می‌باشند [۵]:

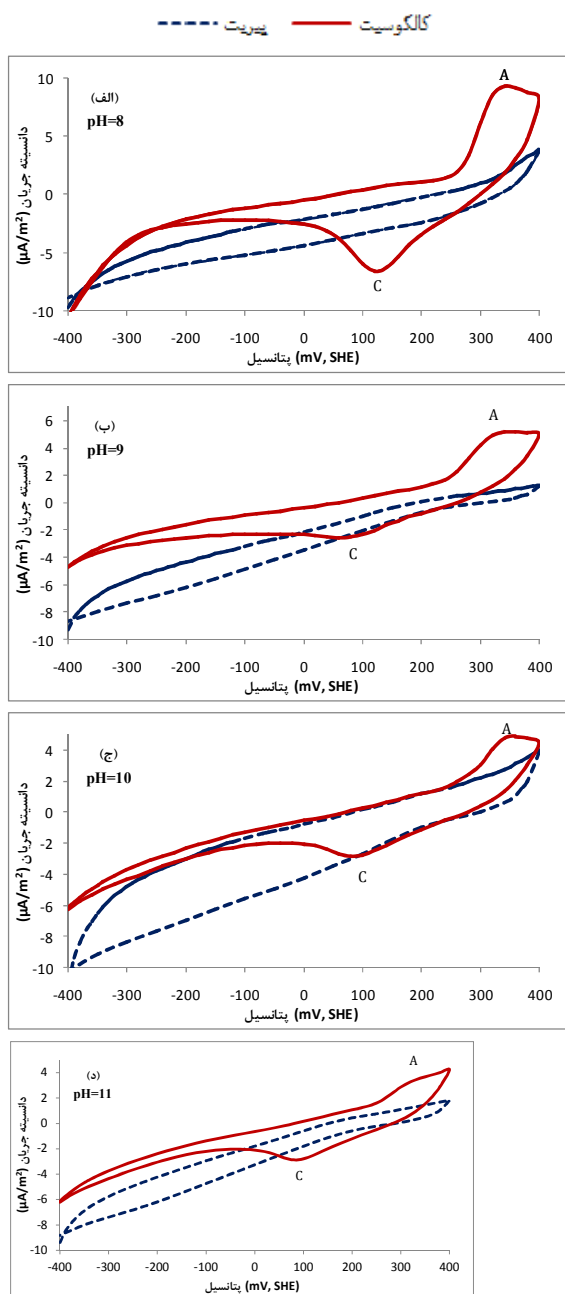
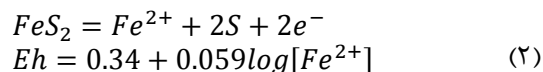
همان‌طوری که مشاهده می‌گردد، در محیط‌های احیایی بالا (پتانسیل‌های ۳۰۰-۲۰۰ میلی‌ولت) اختلاف بین عیار و بازیابی این دو کانی پایین است و جدایش خوبی صورت نگرفته است ولی با افزایش پتانسیل در مقادیر بالاتر از 200 mV ، جدایش بهتری صورت گرفته است. اختلاف عیار و بازیابی این دو کانی با افزایش پتانسیل پالپ، شدیداً وابسته به pH می‌باشد. بطوری که این اختلاف عیار و بازیابی با افزایش pH ، افزایش می‌یابد. همان‌طوری که از شکل ۳ (d) برمی‌آید، ماکریزم جدایش در پتانسیل صفر و در $\text{pH}=11$ حاصل شده است. مجدداً با افزایش پتانسیل به سمت محیط‌های اکسایشی، اختلاف بازیابی‌ها و نیز عیار کانی‌ها، کاهش یافته است. بطوری که، کمترین جدایش این دو کانی در پتانسیل $+200 \text{ mV}$ و $\text{pH}=8$ اتفاق افتاده است.

بنابراین با توجه به نتایج آزمایش‌های فوق، بهترین بازه پتانسیل برای جدایش موثر کالکوسیت و پیریت، محدوده 100 -۳۰۰ تا صفر میلی‌ولت و مناسب‌ترین pH برای این منظور $\text{pH}=11$ می‌باشد.

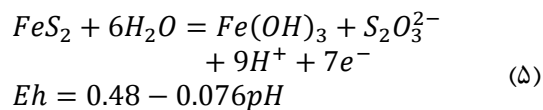
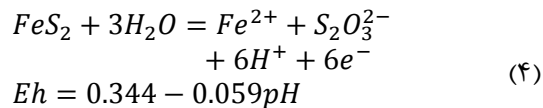
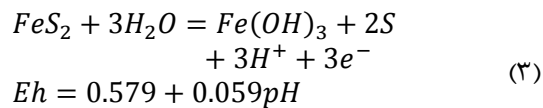
۴- تحلیل نتایج و بحث

از آنجایی که کانی‌های سولفیدی دارای خواص نیمه‌رسانایی می‌باشند، لذا اغلب واکنش‌های مرتبط با شناورسازی آن‌ها در حضور گزنتات‌ها، واکنش‌های الکتروشیمیایی است. بنابراین، رفتار متفاوت شناورسازی کالکوسیت و پیریت در شرایط مختلف محیط شناورسازی نیز متاثر از واکنش‌های الکتروشیمیایی بین این کانی‌ها و محیط شناورسازی می‌باشد. جدا از اندرکنش‌های گالوانیکی بین این دو کانی، گونه‌های مختلف ترکیبات کانی-کلکتور ناشی از واکنش‌های الکتروشیمیایی در مقادیر مختلف پتانسیل و pH محیط، عامل اصلی رفتار شناورسازی این دو کانی می‌باشد. طبق مطالعات محققین متعدد [۱۵، ۱۴، ۱۲، ۱۸، ۲۳] عامل اصلی شناورسازی پیریت، دیگرنتوژن است در صورتی که عامل اصلی شناورسازی کالکوسیت، گزنتات مس است و دیگرنتوژن اثری بر شناورسازی کالکوسیت ندارد. زیرا پتانسیل آزاد کالکوسیت در همه H_2O ها کمتر از پتانسیل آزاد پیریت می‌باشد [۵۳] و پتانسیل برگشت‌پذیری تبدیل یون گزنتات به دیگرنتوژن مابین پتانسیل‌های آزاد این دو کانی قرار دارند [۱۲]، لذا کالکوسیت قبل از تشکیل دیگرنتوژن، اکسید شده و با یون گزنتات، تشکیل گزنتات مس می‌دهد، در حالی که یون گزنتات قبل از اکسیداسیون پیریت، به

واکنش‌ها بسته به میزان در دسترس بودن یون گزنتات، می‌تواند یکی از واکنش‌های زیر [۱۵, ۵] باشد.

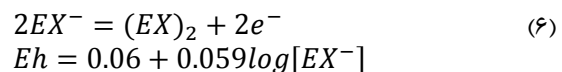


شکل (۴) منحنی‌های ولتاوی چرخه‌ای الکترودهای پیریت و کالکوسیت در pH‌های مختلف در غیاب کلکتور با نرخ روبش ۰/۱ ولت بر ثانیه



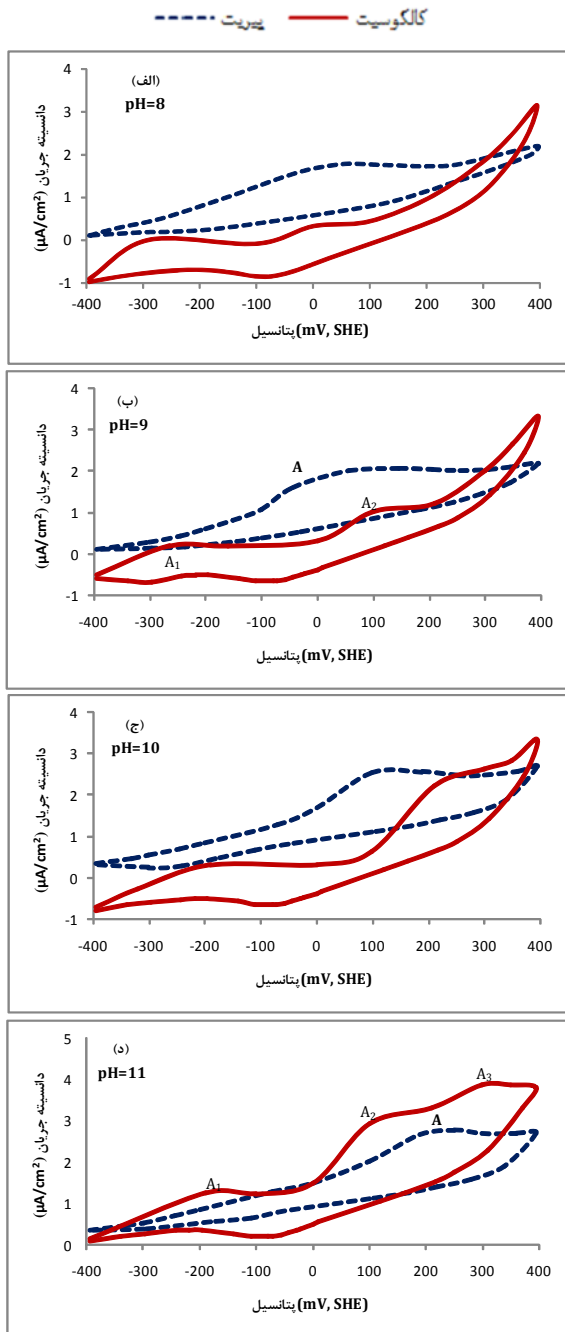
نتایج مطالعات ولتاوی چرخه‌ای کالکوسیت و پیریت در حضور اتیل گزنتات پتاسیم، در pH‌های مختلف در شکل ۵ (صفحه بعد) نشان داده شده است. همان‌طوری که مشاهده می‌شود، پیک‌های جدیدی که ناشی از اندرکنش این کانی‌ها با اتیل گزنتات پتاسیم می‌باشد، در منحنی‌های ولتاوی چرخه‌ای ظاهر شده‌اند.

همان‌طوری که مشاهده می‌شود، در همه pH‌ها، تنها یک پیک آندیک (A) که مovid یک واکنش اکسیداسیون بر روی الکترود پیریت است، در منحنی ولتاوی پیریت، مشاهده می‌شود. اما موقعیت آن در pH‌های مختلف، تغییر کرده است. این موضوع بیان‌گر آن است که واکنش اکسیداسیون مرتبط با این پیک در pH‌های مختلف، بشدت وابسته به پتانسیل محیط است. یعنی، پتانسیلی که این واکنش در آن اتفاق می‌افتد، با افزایش pH، افزایش می‌باید. این پیک می‌تواند ناشی از تشکیل دی‌گزنتوژن بر روی سطح پیریت باشد (واکنش ۶).

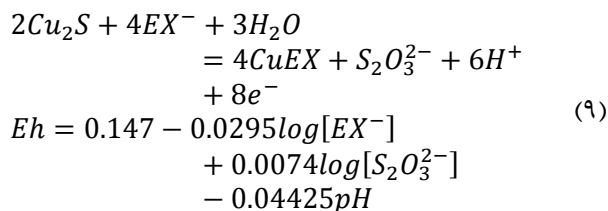
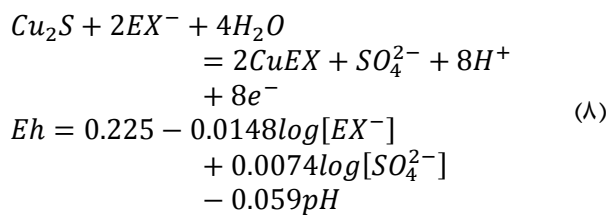
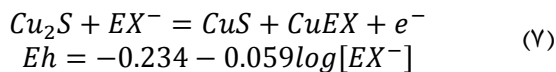


منحنی ولتاوی چرخه‌ای کالکوسیت، در pH‌های ۸، ۹، ۱۰، تنها دو پیک (A₁ و A₂) و در pH=۱۱، سه پیک آندیک (A₁، A₂ و A₃) را نشان می‌دهد. محققین [۱۵, ۵] پیک اول (A₁) را ناشی از جذب تکلایه‌ای گزنتات و پیک دوم (A₂) را ناشی از جذب توده‌ای گزنتات بر روی کالکوسیت می‌دانند. بنابراین واکنش‌های اکسیداسیون ناشی از برهم‌کنش‌های الکتروشیمیایی بین کالکوسیت و یون گزنتات، می‌تواند عامل اصلی شناورسازی کالکوسیت در شرایط فوق الذکر باشد. این

است. بازداشت کالکوسیت در پتانسیل‌های بالا و در pH های قلیایی نیز می‌تواند ناشی از تشکیل گونه‌های هیدروفیل CuO_2^- ، $HCuO_2^-$ یا $Cu(OH)_2$ ناشی از واکنش‌های اخیر باشد.

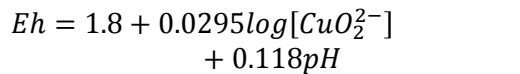
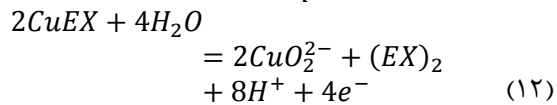
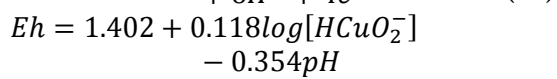
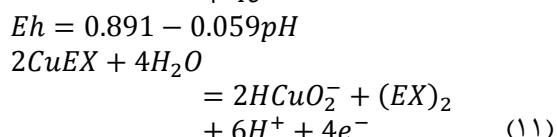
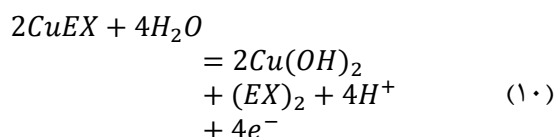


شکل (۵) منحنی‌های ولتاومتری چرخه‌ای الکترودهای پیریت و کالکوسیت در pH های مختلف در حضور KEX با نرخ روبش 0.1 mV/s و لولت بر ثانیه



گونه CuEX یک گونه بسیار پایدار است و در محدوده وسیعی از پتانسیل پایدار می‌ماند [۱۲]. بنابراین بنظر می‌رسد رفتار متفاوت کالکوسیت و پیریت در شرایط مطالعه شده و جدایش موثر آن در شرایطی که قبلًا ذکر شد، ناشی از تشکیل و پایداری گونه گزنتات مس ناشی از واکنش‌های فوق عنوان عامل شناورسازی کالکوسیت و عدم تشکیل یا کافی نبودن گونه دیگر نتوژن عنوان عامل شناورسازی پیریت باشد.

پیک اکسیداسیون سوم (A_3) بر روی الکترود کالکوسیت در pH=۱۱ در پتانسیل‌های بسیار اکسنده (+۲۰۰ mV) می‌تواند ناشی از تجزیه گونه گزنتات مس طبق یکی از واکنش‌های زیر [۲۵, ۵] باشد:



با توجه به واکنش‌های فوق، یکی از محصولات واکنش‌های تجزیه گونه اتیل گزنتات مس، گونه دیگر نتوژن می‌باشد که می‌تواند شناورسازی پیریت را شدت بخشد که این موضوع در رفتار شناورسازی پیریت و کالکوسیت در pH=۱۱ و پتانسیل‌های بالا (حدود ۲۰۰ mV+) بوضوح قابل مشاهده

۵- نتیجه‌گیری

نتایج آزمایش‌های شناورسازی با کنترل پتانسیل برای جدایش کالکوسیت از پیریت در حضور اتیل گزنتات پتابسیم، حاکی از آن است که رفتار شناورسازی این دو کانی در حضور اتیل گزنتات پتابسیم، بشدت وابسته به پتانسیل اکسیداسیون-احیا پالپ و pH محیط می‌باشد و لذا با کنترل پتانسیل و pH پالپ، جدایش موثر این دو کانی امکان‌پذیر است. در صورتی که بدون کنترل پتانسیل پالپ (در پتانسیل‌های مدار باز پالپ)، جدایش موثری حاصل نمی‌شود. امکان جدایش این دو کانی در شرایط قلیایی و در پتانسیل‌های خنثی (حدود صفر) بیشتر است. بهترین شرایط برای جدایش این دو کانی در $pH=11$ و محدوده پتانسیل بین صفر تا -100 میلیولت می‌باشد. نتایج مطالعات ولتاومنی چرخه‌ای حاکی از آن است که تشکیل و پایداری گونه اتیل گزنتات مس عامل اصلی شناورسازی کالکوسیت می‌باشد. در صورتی که تشکیل دی‌گزنتوژن ناشی از اکسایش یون گزنتات و یا تجزیه اتیل گزنتات مس، عامل اصلی شناورسازی پیریت می‌باشد. بنابراین با کنترل شرایط برای تشکیل اتیل گزنتات مس و عدم تشکیل دی‌گزنتوژن، می‌توان کالکوسیت را بخوبی از پیریت جدا کرد که این امر با کنترل پتانسیل اکسیداسیون-احیا پالپ و pH محیط شناورسازی، امکان‌پذیر است.

تشکر و قدردانی

نگارندگان این مقاله مرتب قدردانی خود را بخاطر حمایت مالی و آزمایشگاهی دانشگاه تربیت مدرس و مجتمع مس سرچشمه اعلام می‌دارند.

مراجع

- [5] Y. Hu, et al., (2009), *Electrochemistry of Flotation of Sulphide Minerals*: Tsinghua University Press,.
- [6] R. Woods, (2003), "Electrochemical Potential Controlling Flotation," *Int. J. Miner. Process.*, vol. 72, pp. 151-162.
- [7] J. E. Gebhardt and P. E. Richardson, (1987), "Differential Flotation of A Chalcocite-Pyrite Particle Bed By Electrochemical Control," *Miner. Metall. Process.*, vol. 4, pp. 140-145.
- [8] X. Cheng and I. Iwasaki, (1992), "Effect of Chalcopyrite and Pyrrhotite Interaction on Flotation Separation," *Miner. Metall. Process.*, vol. 9, pp. 73-79.
- [9] G. Gu, et al., (2004), "Galvanic Coupling and Its Effect on Origin Potential Flotation System of Sulfide Minerals," *J. Cent. South Univ. Technol.*, vol. 11, pp. 275-279.
- [10] G. Huang and S. Grano, (2005), "Galvanic Interaction of Grinding Media with Pyrite and Its Effect on Flotation," *Minerals Engineering*, vol. 18, pp. 1152-1163.
- [11] M. K. Yelloji Rao and K. A. Natarajan, (1988), "Influence of Galvanic Interactions Between Chalcopyrite and Some Metallic Materials on Flotation," *Minerals Engineering*, vol. 1, pp. 281-294.
- [12] M. C. Fuerstenau, et al., (1985), *Chemistry of flotation*: AIMM, Kingsport Press.
- [13] J. S. Hanson and D. W. Fuerstenau, (1991), "The Electrochemical and Flotation Behavior of Chalcocite and Mixed Oxide/Sulfide Ores," *Int. J. Miner. Process.*, vol. 33, pp. 33-47.
- [14] G. W. Heyes and W. J. Trahar, (1979), "Oxidation-Reduction Effects in the Flotation of Chalcocite," *Int. J. Miner. Process.*, vol. 6, pp. 229-252.
- [15] C. S. O'Dell, et al., (1986), "Electrochemistry of the Chalcocite-Xanthate System," *J. Applied Electrochem.*, vol. 16, pp. 544-554..
- [16] M. S. Raghavan and B. S. Unger, (1983), "Interaction of Thioglycolic Acid with Chalcocite," *Trans. Instn. Min. Metall.*, vol. 92, pp. 95-99.
- [17] P. E. Richardson, et al., (1984), "Electrochemical Flotation of Sulphides: Chalcocite-Ethylxanthate Interactions," *Int. J. Miner. Process.*, vol. 12, pp. 73-93.
- [18] J. R. Roos, et al., (1990), "Electrochemical Control of Chalcocite and Covellite-Xanthate Flotation," *Int. J. Miner. Process.*, vol. 29, pp. 17-30.
- [19] G. W. Walker, et al., (1984), "Electrochemical Flotation of Sulphides: Reactions of Chalcocite in Aqueous Solution," *Int. J. Miner. Process.*, vol. 12, pp. 55-72.
- [20] R. Woods, et al., (1993), "The Potential Dependence of Flotation of Chalcocite with Diethyl Dithiophosphate," *Int. J. Miner. Process.*, vol. 39, pp. 101-106.
- [21] R. Woods, et al., (1990), "Ethyl Xanthate Chemisorption Isotherm and Eh-pH Diagrams for the

- [1] S. Chander and D. W. Fuerstenau, (1983), "Electrochemical Flotation Separation of Chalcosite From Molybdenite," *Int. J. Miner. Process.*, vol. 10, pp. 89-94.
- [2] Z. Ekmekci and H. Demirel, (1997), "Effect of Galvanic Interaction on Collectorless Flotation Behaviour of Chalcopyrite and Pyrite," *Int. J. Miner. Process.*, vol. 52, pp. 31-48.
- [3] S. He, et al., (2006), "Effect of Oxidation Potential and Zinc Sulphate on the Separation of Chalcopyrite from Pyrite," *Int. J. Miner. Process.*, vol. 80, pp. 169-176.
- [4] Y. Peng, et al., (2003), "Control of Grinding Conditions in the Flotation of Chalcopyrite and its Separation from Pyrite," *Int. J. Miner. Process.*, vol. 69, pp. 87-100.

- [36] T. N. Khmeleva, *et al.*, (2005), "Depression Mechanisms of Sodium Bisulphite in the Collectorless Flotation of Copper Activated Sphalerite," *Int. J. Miner. Process.*, vol. 76, pp. 43-53.
- [37] T. N. Khmeleva, *et al.*, (2006), "Depression Mechanisms of Sodium Bisulphite in the Xanthate-Induced Flotation of Copper Activated Sphalerite," *Int. J. Miner. Process.*, vol. 79, pp. 61-75.
- [38] X. M. Yuan, *et al.*, (1996), "Flotation of a Complex Sulphide Ore I. Cu/Zn Selectivity Control by Adjusting Pulp Potential with Different Gases," *Int. J. Miner. Process.*, vol. 46, pp. 155-179.
- [39] M. Poorkani and S. Banisi, (2005), "Industrial use of nitrogen in flotation of molybdenite at Sarcheshmeh Copper Complex," *Minerals Engineering*, vol. 18, pp. 735-738.
- [40] V. V. Hintikka and J. O. Leppinen, (2000), "Potential control in the flotation of sulphide minerals and precious metals," *Minerals Engineering*, vol. 8, pp. 1151-1158, 1995.
- [41] S. Chander and A. Khan, "Effect of Sulfur Dioxide on Flotation of Chalcopyrite," *Int. J. Miner. Process.*, vol. 58, pp. 45-55.
- [42] J. Ralston, (1991), "Eh and Its Consequences in Sulphide Mineral Flotation," *Minerals Engineering*, vol. 4, pp. 859-878.
- [43] V. A. Chanturiya, *et al.*, (2004), "The Hydrophilic-Hydrophobic Transitions on Chalcopyrite: Electrochemical Study," *Physicochemical Problems of Mineral Processing*, vol. 38, pp. 65-78.
- [44] J. R. Gardner and R. Woods, (1979), "An Electrochemical Investigation of the Natural Floatability of Chalcopyrite," *Int. J. Miner. Process.*, vol. 6, pp. 1-16.
- [45] T. Guler and C. Hicyilmaz, (2004), "Hydrophobicity of Chalcopyrite with Dithiophosphate and Dithiophosphinate in Electrochemically Controlled Condition," *Colloids and Surfaces A: Physicochem. Eng. Aspects*, vol. 235, pp. 11-15.
- [46] A. Khan and S. Kelebek, (2004), "Electrochemical Aspects of Pyrrhotite and Pentlandite in Relation to their Flotation with Xanthate. Part-I: Cyclic Voltammetry and Rest Potential Measurements," *J. Applied Electrochem.*, vol. 34, pp. 849-856.
- [47] W. Tolley, *et al.*, (1996), "Fundamental Electrochemical Studies Of Sulfide Mineral Flotation," *Minerals Engineering*, vol. 9, pp. 603-637.
- [48] J. R. Gardner and R. Woods, (1979), "A Study of the Surface Oxidation of Galena Using Cyclic Voltammetry," *J. Electroanal. Chem.*, vol. 100, pp. 447-459.
- [49] A. Sudarsono, (1999), "Linear Potential Sweep Voltammetry in Conjunction with Small Amplitude Cyclic Voltammetry Study for Chalcopyrite – Xanthate Electrochemical Flotation System," *Jurusan Teknik Pertambangan, Institut Teknologi Bandung, Jl. Ganesa 10, Bandung 40132*.
- [50] J. R. Gardner and R. Woods, (1973), "The Use of Particulate Bed Electrode For the Electrochemical Copper-Water-Xanthate and Chalcocite-Water-Xanthate Systems," *Int. J. Miner. Process.*, vol. 30, pp. 17-33.
- [22] G. Bulut and S. Atak, (2002), "Role of Dixanthogen on Pyrite Flotation: Solubility, Adsorption Studies and Eh, FTIR Measurements," *Miner. Metall. Process.*, vol. 19, pp. 81-86.
- [23] F. Garip and H. Ozdag, (1998), "The Adsorption of Potassium Ethyl Xanthate on Pyrite and Effect of Na₂S on the Concentration of Xanthate Ion in the Potassium Ethyl Xanthate Solution," *Int. J. Miner. Process.*, vol. 55, pp. 129-137.
- [24] S. He, *et al.*, (2005), "Correlation Between Copper-Activated Pyrite Flotation and Surface Species: Effect of Pulp Oxidation Potential," *Minerals Engineering*, vol. 18, pp. 1208-1213.
- [25] G. W. J. Heyes and W. J. Trahar, (1984), "The Flotation of Pyrite and Pyrrhotite in the Absence of Conventional Collectors In: P. E. Richardson et al. eds., Electrochemistry in Mineral and Metal Processing," *Electro. Chem., Soc.*, vol. 10, pp. 219-232.
- [26] J. R. Roos, *et al.*, (1990), "Electrochemical Control of Metallic Copper and Chalcopyrite-Xanthate Flotation," *Int. J. Miner. Process.*, vol. 28, pp. 231-245.
- [27] H. Guo and W. T. Yen, (2003), "Pulp Potential and Floatability of Chalcopyrite," *Minerals Engineering*, vol. 16, pp. 247-256.
- [28] H. Guo and W. T. Yen, (2005), "Surface Potential and Dixanthogen Stability on Chalcopyrite Surface," *Int. J. Miner. Process.*, vol. 76, pp. 205-213.
- [29] D. Kocabag and T. Guler, (2007), "Two-Liquid Flotation of Sulphides: An Electrochemical Approach," *Minerals Engineering*, vol. 20, pp. 1246-1254.
- [30] M. H. Jones, (1991), "Some recent developments in the measurement and control of xanthate, perxanthate, sulphide, and redox potential in flotation," *Int. J. Miner. Process.*, vol. 33, pp. 193-205.
- [31] S. R. Grano, *et al.*, (1990), "Influence of Electrochemical Environment and the Flotation Behavior of Mount Isa Copper and Lead-Zinc Ores," *Int. J. Miner. Process.*, vol. 30, pp. 69-97.
- [32] F. Goktepe and K. Williams, (1995), "Electrochemical Effects in Flotation of a Turkish Complex Ore," *Minerals Engineering*, vol. 8, pp. 1035-1048.
- [33] R. A. Hayes and J. Ralston, (1988), "The collectorless flotation and separation of sulphide minerals by Eh control," *Int. J. Miner. Process.*, vol. 23, pp. 55-84.
- [34] Q. Zhang, *et al.*, (2006), "FTIR Spectroscopic Study of Electrochemical Flotation of Jamesonite-Diethyldithiocarbamate System," *Transactions of Nonferrous Metals Society of China*, vol. 16, pp. 493-496.
- [35] W. Z. Shen, *et al.*, (2001), "Flotation of Sphalerite and Pyrite in the Presence of Sodium Sulfite," *Int. J. Miner. Process.*, vol. 63, pp. 17-28.

- [53] T. Chmielewski and R. Kaleta, (2011), "Galvanic Interactions of Sulfide Minerals In Leaching of Flotation Concentrate from Lubin Concentrator," *Physicochemical Problems of Mineral Processing*, vol. 46, pp. 21-34.
- [54] S. Chander and D. W. Fuerstenau, (1974), "The Effect of Potassium Diethyldithiophosphate on the Electrochemical Properties of Platinum, Copper and Copper Sulfide in Aqueous Solutions," *Electroanal. Chem. Interfacial Electrochem.*, vol. 56, pp. 217-247.
- [55] F. Goktepe, (2002), "Effect of pH on Pulp Potential and Sulphide Mineral Flotation," *Turkish J. Eng. Env. Sci.*, vol. 26, pp. 309-318.
- [56] T. S. Light, (1972), "Standard solution for redox potential measurements," *Anal. Chem.*, vol. 44, pp. 1038-1039.

Flotation Separation of Chalcocite from Pyrite Using Controlled Redox Potential

Bijan Taheri¹, Mahmoud Abdollahy^{2,*}, Sied Ziaedin Shafaei Tonkaboni³, Soheila Javadian⁴

1. PhD Candidate of Mineral Processing, Tarbiat Modares University
(tymaz530@gmail.com)
2. Professor of Mineral Processing, Tarbiat Modares University (minmabd@modares.ac.ir)
3. Professor of Mineral Processing, Tehran University (zshafaie@ut.ac.ir)
4. Associate Professor of Chemistry, Tarbiat Modares University (javadian_s@modares.ac.ir)

ABSTRACT

A controlled potential flotation separation of chalcocite from pyrite using potassium ethyl xanthate (PEX) as a collector was investigated at different pH values. It was found that the oxidation-reduction state of the pulp can have a pronounced influence on the flotation separation of these minerals. Potential range between -100 mV to 0 mV (SHE) at pH 11 was found as optimum condition for separation of chalcocite from pyrite. Cyclic voltammetry method was used to identify the flotation behavior of these minerals. According to flotation results and cyclic voltammetry curves, appropriate separation of chalcocite from pyrite at above mentioned condition attributed to the formation and stability of copper-xanthate species which is responsible for the flotation of chalcocite and the instability or lack of dixanthogen that is responsible for the flotation of pyrite.

ARTICLE INFO

Article history:

Received: 12 Dec 2012

Revised: 15 May 2013

Accepted: 4 Aug 2013

Key words:

Controlled Potential

Flotation

Redox Potential

Chalcocite

Pyrite

Cyclic Voltammetry

All right reserved.

* Corresponding author